

PACS: 64.80.-v, 81.40.-z

Г.И. Жиров

ОТОЖЖЕННЫЙ И ВОДОРОДОФАЗОНАКЛЕПАННЫЙ ГИДРИД ПАЛЛАДИЯ: МЕТОДИКИ ПОЛУЧЕНИЯ И МЕХАНИЧЕСКИЕ СВОЙСТВА

Донецкий национальный технический университет
83000, г. Донецк, ул. Артема, 58

E-mail: goltsov@physics.dgut.donetsk.ua

Статья поступила в редакцию 21 февраля 2003 года

Показано, что отожженный, малодефектный гидрид палладия, полученный путем насыщения палладия водородом «в обход» купола двухфазного состояния, является малопрочным и высокопластичным материалом. При насыщении палладия водородом при температуре ниже критической (292 °C) в системе палладий–водород имеют место развитие гидридного $\alpha \rightarrow \beta$ -фазового превращения по механизму зарождения и роста. Полученный таким образом гидрид палладия является высокопрочным и малопластичным материалом вследствие того, что в процессе образования гидридная β -фаза претерпевает сильный водородофазовый наклеп в результате развития гидридного $\alpha \rightarrow \beta$ -фазового превращения.

Введение

Для системы палладий–водород (рис. 1) характерно наличие критической точки ($T_k = 292^\circ\text{C}$, $P_{H_2\text{кр}} = 1,97 \text{ МПа}$), выше которой имеет место непрерывный ряд твердых растворов внедрения водорода в палладии [1]. Ниже критической точки T_k наблюдается расслоение твердого раствора внедрения, и на диаграмме состояния существуют области разбавленных твердых растворов водорода в ГЦК-решетке палладия (α -фаза), концентрированных твердых растворов водорода в ГЦК-решетке палладия (β -фаза) и двухфазная ($\alpha+\beta$)-область, граница которой имеет форму купола.

Как видно из рис. 1, β -фаза системы Pd–H, которую по историческим причинам называют гидрид палладия [2], может быть получена при насыщении палладия водородом двумя принципиально различными путями: 1) «в обход» купола двухфазного состояния [3], когда при определенных условиях можно получить хорошо отожженный, малодефектный гидрид палладия; 2) в условиях, когда фигуративная точка сплава PdH_x проходит через двухфазную ($\alpha+\beta$)-область. При этом в сплаве PdH_x развивается прямое гидридное $\alpha \rightarrow \beta$ -фазовое превращение по диффузионно-кооперативному ме-

низму [5]. Из-за разницы удельных объемов превращающихся α - и β -фаз (до 10,59% при 20°C) в сплаве возникает водородофазовый наклеп [4,5]. Соответственно при полном (100%-ном) развитии гидридного фазового превращения имеет место формирование водородофазонаклепанного гидрида палладия.

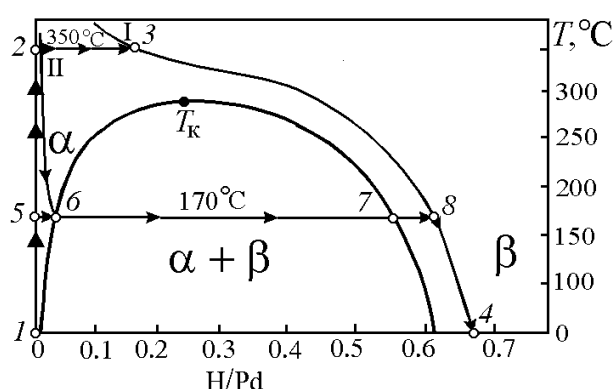


Рис. 1. Равновесная фазовая диаграмма состояния системы Pd–H [1] и схемы насыщения палладия водородом до гидридного состояния «в обход» купола двухфазного состояния (1→2→3→4) и с развитием гидридного $\alpha\rightarrow\beta$ -фазового превращения (1→5→6→7→8→4). I и II – изобары 0,18 и 2,3 МПа

Изменение механических свойств палладия в результате водородофазового наклена при многократно повторяющихся $\alpha\rightarrow\beta\rightarrow\alpha$ -фазовых превращениях было изучено ранее и подробно описано в [5]. Однако до настоящего времени оставались неизвестными механические свойства гидрида палладия, полученного путем однократного $\alpha\rightarrow\beta$ -превращения или без такового «в обход» купола двухфазного состояния. Результаты таких исследований представляют особый интерес с точки зрения использования палладия и его сплавов как функциональных материалов водородной энергетики. В связи с вышесказанным в настоящей работе были поставлены следующие задачи:

- 1) изучить механические свойства отожженного, малодефектного гидрида палладия, полученного по методике [3], когда палладий насыщается водородом при температурах выше критической точки системы палладий–водород, где не развивается гидридное $\alpha\rightarrow\beta$ -фазовое превращение и, соответственно, не имеет места водородофазовый наклеп;
- 2) исследовать развитие и структурный механизм прямого гидридного $\alpha\rightarrow\beta$ -фазового превращения с использованием методики видеозаписи изменений полированной поверхности палладия при его насыщении водородом при 170°C, т.е. при такой температуре, при которой процесс взаимодействия палладия с водородом осуществляется уже достаточно быстро;
- 3) изучить механические свойства водородофазонаклепанного гидрида палладия, полученного насыщением палладия водородом при 170°C с полным 100%-ным развитием гидридного $\alpha\rightarrow\beta$ -фазового превращения.

1. Материал и методика эксперимента

Материалом для исследования служил палладий (99,98%) в виде проволоки диаметром 0,5 мм; содержание примесей, %: Pt – 0,009; Rh – 0,002;

Fe – 0,002; Ir, Au, Ni, In, Si – не более 0,0001.

Развитие прямых $\alpha \rightarrow \beta$ -гидридных фазовых превращений в отожженном палладии изучали в водородо-вакуумной установке ВВУ-2 на образцах П-образной формы [3]. Для исследования развития $\alpha \rightarrow \beta$ -превращения образцы предварительно отжигали при 1000°C в течение 0,5 ч (величина зерна составляла около 150 мкм). Установка ВВУ-2 и методика изучения гидридных фазовых превращений *in situ* с видеозаписью процессов, а также дальнейшим компьютерным анализом микровидеозаписи превращения описаны в работе [6].

Для исследования механических свойств гидрида (β -фазы) палладия использовали его проволочные образцы (\varnothing 0,5 мм, длина 165 мм). В состоянии поставки (деформация 95%) их отжигали при 750°C в течение 0,5 ч, после чего величина зерна составила ~ 50 мкм. Отожженные образцы насыщали водородом на модернизированной водородо-вакуумной установке ВВУ-3. Установка позволяет осуществлять водородную обработку образцов больших размеров (длиной до 200 мм) при давлениях газообразного водорода до 4 МПа и при температурах до 1100°C. Процесс насыщения водородом в ВВУ-3 контролировали путем измерения электросопротивления образца-свидетеля длиной 45 мм.

Механические свойства образцов определяли на разрывной машине РМУ-0,05-1, предназначеннной для проведения испытаний на растяжение и разрыв с усилием до 50 кг. Длина рабочей части образцов составляла 100 мм. Перед проведением механических испытаний на их рабочую часть наносились метки с шагом 5 мм. Растяжение образцов проводили при постоянной скорости перемещения подвижного зажима разрывной машины 10 мм/мин, при пределе шкалы нагрузки, равной 10 кг. По результатам испытаний (не менее трех образцов на эксперимент) определяли механические характеристики палладия и его гидрида: предел прочности σ_b , Н/мм²; предел текучести $\sigma_{0,2}$, Н/мм²; относительное удлинение δ , %.

2. Результаты эксперимента

2.1. Механические свойства палладия

Использованный в работе палладий в нагартованном состоянии (95% деформации) имел следующие механические характеристики: $\sigma_b = 297$ Н/мм²; $\sigma_{0,2} = 224$ Н/мм²; $\delta = 1,1\%$. После отжига при 750°C (0,5 ч) произошли следующие изменения: $\sigma_b = 188$ Н/мм²; $\sigma_{0,2} = 38$ Н/мм²; $\delta = 33\%$.

Эти результаты хорошо согласуются с литературными данными [7] и свидетельствуют о том, что использованный в работе палладий вследствие его высокой чистоты в отожженном состоянии имеет низкие прочностные свойства и весьма высокую пластичность.

2.2. Методика получения и механические свойства отожженного гидрида палладия

Технология получения отожженного, малодефектного гидрида палладия путем насыщения палладия водородом «в обход» купола двухфазной области была разработана в ДонНТУ [8,9].

Было установлено [9], что если скорость повышения давления водорода в водородо-вакуумной установке превышает 1,0 МПа/с, то при 300–350°C имеет место сдвиг зерен палладия. Если же насыщение водородом при этих температурах осуществляется при скоростях подачи водорода менее 0,2 МПа/мин, то полированная поверхность палладия остается неизменной. Это свидетельствует о том, что внутренняя пластическая деформация при таком режиме не развивается и металл после его насыщения водородом остается в исходном отожженном, малодефектном состоянии.

В связи с вышесказанным отожженные (750°C, 0,5 ч) палладиевые проволочные образцы (\varnothing 0,5 мм, длина 165 мм) обрабатывали в установке ВВУ-3 по нижеописанному режиму. После помещения образцов в рабочую камеру ВВУ-3 (рис. 1, т. 1) и вакуумирования образцы нагревали до температуры 350°C (т. 2), что на 58°C выше T_k . После достижения 350°C в рабочую камеру напускали газообразный водород со скоростью 0,1–0,2 МПа/мин. Фигуративная точка системы соответственно перемещалась от т. 2 к т. 3. После достижения давления $P_{H_2} = 2,3$ МПа при $T = 350^\circ\text{C}$ (т. 3 на изобаре I) делали выдержку (10 мин) с целью выравнивания концентрации водорода по сечению образцов. Затем при постоянном давлении водорода 2,3 МПа образцы охлаждали со скоростью 2–4°C/мин до комнатной температуры (движение по изобаре I от т. 3 к т. 4). Таким образом, двигаясь по изобаре 2,3 МПа, фигуративная точка системы попадала за купол двухфазной области системы Pd–H. Медленная скорость охлаждения обеспечивала отсутствие генерации внутренних термических и водородных концентрационных напряжений. После охлаждения до комнатной температуры (т. 4) водород откачивали из камеры со скоростью 0,05–0,1 МПа/мин и образцы вынимали из установки. В целом разработанная методика насыщения палладия водородом, когда figurативная точка системы движется «в обход» купола двухфазной области системы Pd–H, позволяет получать *отожженный, малодефектный гидрид палладия*, не претерпевший прямое $\alpha \rightarrow \beta$ -превращение и не подвергнутый, таким образом, водородофазовому наклепу. Полученные сплавы палладия с водородом в состоянии β -фазы (гидрида) согласно диаграмме состояния [1] имели состав $\text{PdH}_{0,69}$ (т.е. на каждые 100 атомов палладия в сплаве приходится 69 атомов водорода).

Механические испытания были выполнены немедленно после извлечения образцов из рабочей камеры ВВУ-3. Контрольные измерения удельного электросопротивления до и после испытаний подтвердили, что *во время испытаний* содержание водорода в сплавах не изменялось. Оказалось, что полученный по вышеописанной технологии отожженный, малодефектный гидрид палладия ($\text{PdH}_{0,69}$) имеет следующие механические свойства: $\sigma_b = 200 \text{ Н/мм}^2$; $\sigma_{0,2} = 31 \text{ Н/мм}^2$; $\delta = 34\%$. Удивительный результат здесь состо-

ит в том, что полученный гидрид палладия является высокопластичным и малопрочным материалом: его механические свойства в целом близки к свойствам чистого отожженного палладия. При этом гидрид палладия по сравнению с чистым палладием имеет предел прочности на 6% выше, условный предел текучести ниже на ~ 22%, а относительное удлинение практически соответствует уровню отожженного палладия. Этот нетривиальный результат (обычно гидриды рассматриваются как высокохрупкие материалы [10]) будет обсужден ниже.

2.3. Гидридное $\alpha \rightarrow \beta$ -превращение, методика получения и механические свойства водородофазонаклепанного гидрида палладия

При насыщении палладия водородом при температурах ниже $T_k = 292^\circ\text{C}$ (рис. 1) фигуративная точка системы неизбежно проходит через двухфазную ($\alpha + \beta$)-область диаграммы состояния системы Pd–H. Иными словами, в данном случае при насыщении палладия водородом имеет место гидридное $\alpha \rightarrow \beta$ -фазовое превращение, развивающееся путем зарождения и роста зародышей [1–3]. Как известно [4,5], развитие гидридных превращений вызывает развитие водородофазового наклена палладия.

Водородофазовый наклеп состоит в том, что при насыщении и развитии $\alpha \leftrightarrow \beta$ -гидридных фазовых превращений металлы и сплавы сильно упрочняются и изменяются все их физические свойства [4,5]. Это обусловлено тем, что в процессе $\alpha \leftrightarrow \beta$ -гидридного превращения из-за разности удельных объемов превращающихся фаз и наличия градиентов концентрации водорода имеет место возникновение и релаксация больших внутренних напряжений, развивается внутренняя пластическая деформация, что ведет к росту плотности дислокаций, измельчению и развороту блоков мозаики и т.д. [11].

К настоящему времени уже достаточно хорошо изучено упрочнение палладия в результате водородофазового наклена с последующей эвакуацией водорода из металла [5]. Подробно исследованы механические свойства двухфазных ($\alpha + \beta$)-сплавов палладия с водородом [5]. Однако остаются не изученными свойства однофазных β -гидридов палладия, полученных путем насыщения металла водородом со 100%-ным развитием $\alpha \rightarrow \beta$ -гидридного фазового превращения. Иными словами, до настоящего времени свойства водородофазонаклепанного гидрида палладия оставались не исследованными. В соответствии с вышесказанным далее для конкретно выбранных условий ($T = 170^\circ\text{C}$, $P_{\text{H}_2\text{кр}} = 0,18 \text{ МПа}$) сначала изучали насыщение палладия водородом с развитием прямого $\alpha \rightarrow \beta$ -гидридного фазового превращения до формирования 100%-ного β -гидрида палладия. Затем исследовали механические свойства водородофазонаклепанного гидрида палладия.

2.3.1. Структурный механизм и морфологические особенности прямого $\alpha \rightarrow \beta$ -гидридного фазового превращения. П-образный образец палладия с подготовленным металлографическим шлифом монтировали в установку ВВУ-2 и первоначально нагревали в вакууме до 170°C (рис. 1, т. 5). Далее при этой температуре в рабочую камеру установки напускали водород и по-

степенно повышали его давление со скоростью 0,1–0,2 МПа/мин до критической величины ($P_{H_2\text{кр}} = 0,18$ МПа), соответствующей т. б на бинодали системы Pd–H со стороны α -области. Важно, что до этого момента на поверхности шлифа не фиксировались какие-либо изменения и поверхность шлифа оставалась плоской, как это хорошо видно на рис. 2,*a*.

Как было показано в работах [3,6], для того чтобы далее стало развиваться $\alpha \rightarrow \beta$ -превращение, необходимо некоторое дополнительное повышение давления водорода для появления термодинамического стимула развития превращения. Поэтому далее медленно (со скоростью 0,1–0,15 МПа/мин) увеличивали давление водорода. Когда оно стало равным 0,3 МПа, т.е. когда превышение критического значения давления для данной температуры (170°C) достигло $\Delta P_{H_2} = 0,12$ МПа, на шлифе образца были замечены первые изменения. Момент появления этих изменений был принят за нулевую точку отсчета времени превращения. Далее давление 0,3 МПа поддерживалось постоянным, и развитие превращения изучали в изотермически–изобарических условиях ($T = 170^\circ\text{C}$, $P_{H_2} = 0,3$ МПа).

Первые изменения на полированной поверхности палладиевого шлифа, вызванные $\alpha \rightarrow \beta$ -превращением, представлены на рис. 2,*b*. Здесь стрелками 1 показаны выделения β -фазы, уже достаточно хорошо различимые. Другие β -выделения (стрелка 2), зародившиеся, видимо, позже, имеют меньшие размеры. Дальнейшее наблюдение показало, что из выделения 2 (рис. 2,*b*) по мере того, как оно развивалось, произошел «выброс» гидридного отростка (указан стрелкой 3 на рис. 2,*c*), который стал очень быстро увеличиваться в направлении выброса и уже по прошествии 8 с приобрел вполне отчетливую вытянутую форму (стрелка 4, рис. 2,*c*). После этого скорость его роста замедлилась (рис. 3, кривая 2), и по прошествии 11 с произошло полное торможение быстрого роста в направлении первоначального выброса. В последующем этот гидрид увеличивался во всех направлениях со средней скоростью ($\sim 1,2$ мкм/с), характерной для разнонаправленного роста других гидридных выделений (рис. 3, кривая 1).

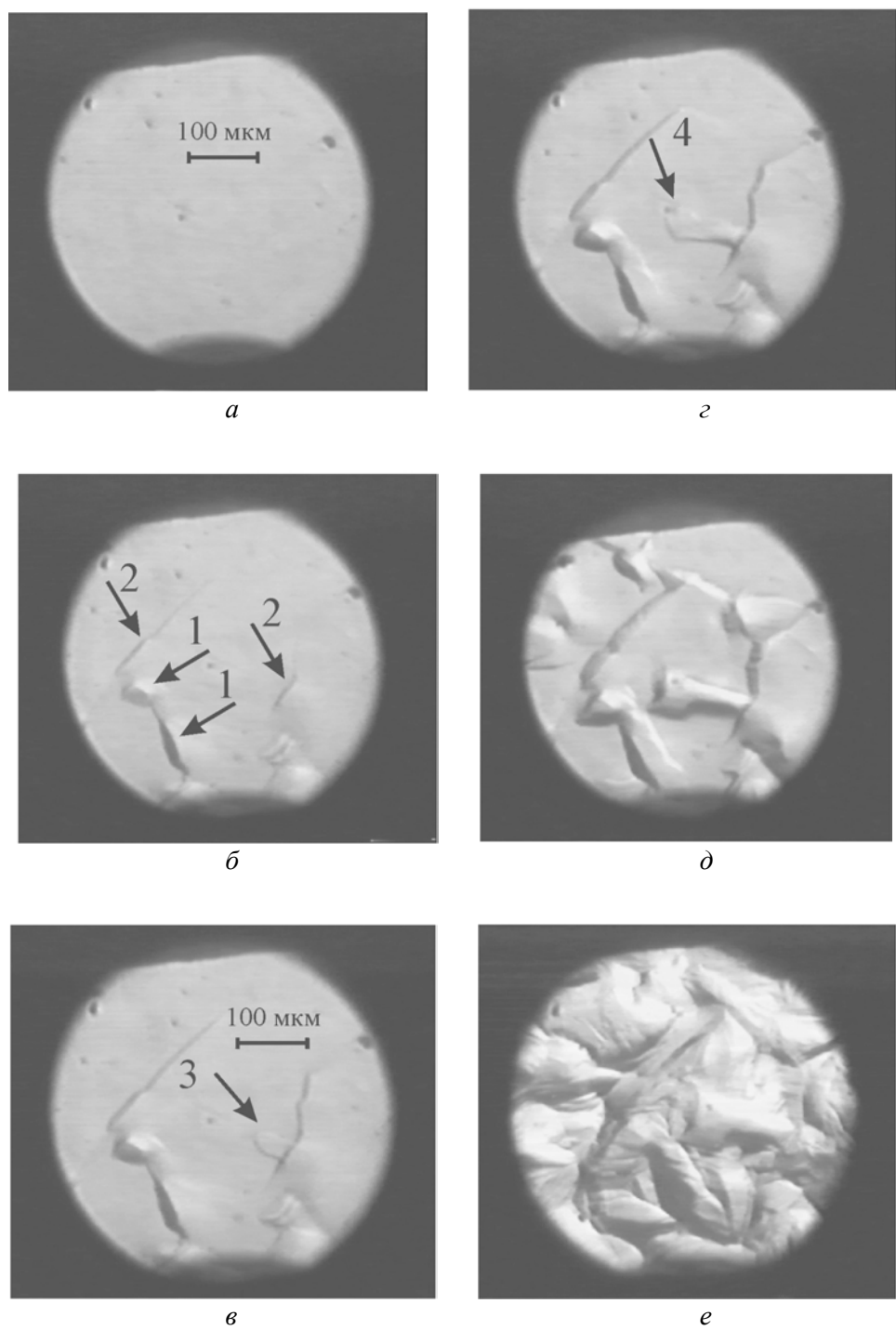


Рис. 2. Развитие $\alpha \rightarrow \beta$ -гидридного фазового превращения в приповерхностных слоях сплавов PdH_x при $T = 170^\circ\text{C}$, $P_{\text{H}_2\text{kp}} = 0,18 \text{ МПа}$ во времени, с: $a - 0$, $b - 10$, $c - 13$, $d - 22$, $e - 300$

На рис. 2,д (55 с от начала превращения) видны уже вполне оформленные «большие» гидридные выделения (около 38% превращения), которые далее растут, постепенно увеличиваясь в основном в поперечном направлении. Скорость роста при этом составляет $\sim 1,2 \text{ мкм/с}$.

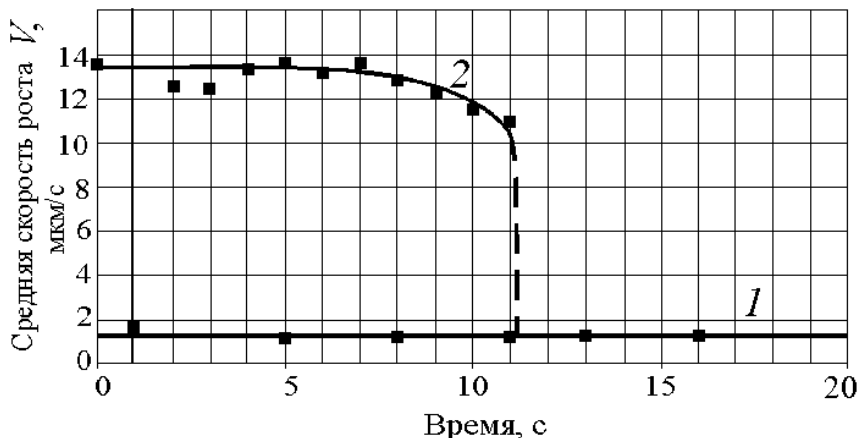


Рис. 3. Скорость роста гидридных выделений в процессе развития $\alpha\rightarrow\beta$ -превращения при $T = 170^\circ\text{C}$, $P_{\text{H}_2} = \text{const} = 0,3 \text{ МПа}$: 1 – средняя скорость разнонаправленного роста массивных гидридных выделений; 2 – скорость направленного роста β -гидридного отростка, показанного на рис. 2 стрелками 2, 3, 4

По прошествии 5 мин превращение в приповерхностных слоях металла завершается, и гидридные выделения смыкаются между собой (рис. 2,е). В результате $\alpha\rightarrow\beta$ -превращения поверхность металла претерпевает необратимую деформацию. Далее в результате продолжающегося в объеме металла превращения до его полного завершения на деформированной поверхности металла появляется система полос скольжения, которая при просмотре видеозаписи различима достаточно отчетливо, а на фотографии (рис. 2,е) слабо различима.

Итак, подведем итог. Как было описано в разд. 2.2, при медленном насыщении палладия водородом выше критической точки системы Pd–H поверхность шлифа остается неизменной, свидетельствуя о сохранении отожженной, малодефектной структуры при получении β -гидрида палладия «в обход» купола двухфазной области. Напротив, если насыщение палладия осуществляется с прохождением через двухфазную ($\alpha+\beta$)-область и развитием прямого $\alpha\rightarrow\beta$ -гидридного фазового превращения, то фиксируются необратимые изменения поверхности шлифа (рис. 2), вызванные зарождением и ростом выделений β -фазы, имеющей больший удельный объем. Совершенно очевидно, что гидрид, получаемый при насыщении палладия водородом с прохождением через двухфазную область и развитием $\alpha\rightarrow\beta$ -гидридного фазового превращения, подвергается при этом водородофазовому наклепу. Представляло интерес далее выяснить, каковы будут при этом механические свойства полученного таким образом гидрида палладия.

2.3.2. Механические свойства водородофазонаклепанного гидрида палладия. Проволочные образцы палладия длиной 165 мм помещали в рабочую камеру, которую вакуумировали и затем нагревали до температуры 170°C (см. рис. 1, т. 5). По окончании выдержки в камеру медленно (0,1–0,2 МПа/мин) напускали газообразный водород до критического давления $P_{\text{H}_2\text{кр}} = 0,18$ МПа. После достижения критического давления делали выдержку с целью выравнивания концентрации водорода по сечению образцов, что подтверждалось стабилизацией электросопротивления образца-свидетеля. Для инициации прямого гидридного превращения давление водорода в камере повышали на 0,15 МПа выше $P_{\text{H}_2\text{кр}}$ (0,18 МПа) со скоростью 0,1–0,15 МПа/мин. Развитие $\alpha \rightarrow \beta$ -превращения оценивали по изменению удельного электросопротивления образца-свидетеля. По завершении $\alpha \rightarrow \beta$ -гидридного превращения (т. 7), при котором прекращается рост удельного электросопротивления образца-свидетеля, давление водорода медленно повышали до 2,3 МПа (т. 8). Затем выпуск водорода прекращали и производили выдержку с целью выравнивания концентрации по сечению образцов. При постоянном давлении водорода, равном 2,3 МПа, вели охлаждение камеры со скоростью 2–4°C/мин (т. 8 → т. 4). После охлаждения до комнатной температуры (т. 4) откачивали водород из камеры со скоростью 0,05–0,1 МПа/мин и образцы вынимали из камеры.

Механические испытания образцов, претерпевших 100%-ное фазовое превращение, подтвердили тот факт, что при обработке имел место сильный водородофазовый наклеп и, соответственно, водородофазонаклепанный гидрид палладия характеризовался высокими прочностными свойствами: $\sigma_b = 243$ Н/мм²; $\sigma_{0,2} = 178$ Н/мм² при практически полной потере пластичности $\delta = 1,8\%$.

Таким образом, гидрид палладия, полученный путем насыщения палладия водородом с развитием гидридного $\alpha \rightarrow \beta$ -фазового превращения и водородофазового наклева, является высокопрочным и малопластичным материалом. Его механические свойства вполне сопоставимы с вышеприведенными свойствами исходного сильно (95%) деформированного палладия.

3. Обсуждение результатов

Рассмотрим полученные экспериментальные результаты в свете исторического развития представлений о природе гидридов. Термин «гидрид» был введен в химии [12] для химических соединений водорода с металлами, подобно тому как карбид, борид, нитрид – для соединений металлов с углеродом, бором и азотом. Химические соединения обычно имеют точный стехиометрический состав. Поскольку для них характерно преобладание ковалентной (или ионной) связи, они обычно являются высокохрупкими материалами.

Гидриды переходных металлов, и в частности гидрид палладия, не вписываются в эти представления [13]. Прежде всего, гидрид палладия имеет широкую область растворимости водорода. Соответственно, многие исследователи, используя термин «гидрид палладия», рассматривают его как концентрированный твердый раствор внедрения водорода в палладии.

Экспериментальные факты, полученные в настоящей работе, подтвер-

ждают правильность такого вывода. А именно, гидрид палладия по своей физической природе не является химическим соединением металла с водородом, это есть концентрированный твердый раствор внедрения водорода в палладии переменного состава, имеющий все признаки металлического сплава: характерный металлический блеск, высокую (металлическую) электропроводность, которая с ростом температуры уменьшается, и высокую металлическую пластичность. Ясно, что гидрид палладия, будучи металлическим материалом, может быть подвергнут обработкам, характерным для металлов: водородофазовому наклепу, внешней пластической деформации, последующей рекристаллизации и т.д.

В заключение отметим, что водородофазовый наклеп палладия [11] сопровождается сильным ростом плотности дислокаций (вплоть до 10^{11} см^{-2}), измельчением блоков мозаики и возникновением больших внутренних напряжений. Очевидно, что эти же факторы ответственны за упрочненное состояние водородофазонаклеенного гидрида палладия, обнаруженное в настоящей работе. И, наконец, необходимо подчеркнуть, что экспериментально установленная высокая пластичность отожженного, малодефектного гидрида палладия, а также возможность упрочнять его путем водородофазового наклена при гидридных превращениях открывают новые перспективы и направления в практическом использовании этого металлического материала.

Выводы

1. Установлено, что отожженный, малодефектный гидрид палладия (β -фаза палладия), полученный путем насыщения палладия водородом «в обход» купола двухфазного состояния, является высокопластичным металлическим материалом с невысокими прочностными свойствами: $\sigma_{\text{в}} = 200 \text{ Н/мм}^2$; $\sigma_{0,2} = 31 \text{ Н/мм}^2$; $\delta = 34\%$.

2. Подтверждено, что прямое гидридное $\alpha \rightarrow \beta$ -фазовое превращение в системе палладий–водород развивается по механизму зарождения и роста зародышей [3]. β -выделения имеют неравноосную форму и растут по всем направлениям со скоростями 1,1–1,6 $\mu\text{мм}/\text{с}$. Иногда отдельные β -выделения «выбрасывают» гидридные отростки, которые растут первоначально в строго определенном направлении и с весьма большой скоростью – до 13,7 $\mu\text{мм}/\text{с}$.

3. Установлено, что гидрид палладия, полученный путем насыщения палладия водородом с развитием прямого гидридного $\alpha \rightarrow \beta$ -фазового превращения, претерпевает водородофазовый наклеп, сильно упрочняется, а его пластичность, соответственно, значительно уменьшается: $\sigma_{\text{в}} = 243 \text{ Н/мм}^2$; $\sigma_{0,2} = 178 \text{ Н/мм}^2$; $\delta = 1,8\%$.

4. Подтверждено, что гидрид палладия не является химическим соединением типа карбидов, боридов, нитридов. Он обладает всеми характерными металлическими свойствами: металлическим блеском, высокой металлической электропроводностью, уменьшающейся с ростом температуры, высокой пластичностью. Гидрид палладия может быть подвергнут всем обработкам, характерным для металлических материалов: пластической деформации, водородофазовому наклепу, рекристаллизации и т.д.

1. Э. Вике, Х. Бродовский, в кн.: Водород в металлах, Г. Алефельд, И. Фелькль (ред.), Мир, Москва (1981), т. 2, с. 100.
2. F. Lewis, in: Progress in Hydrogen Treatment of Materials, V.A. Goltsov (ed.), Kassiopuya Ltd, Donetsk (2001), п. 147–160.
3. M.V. Goltsova, Yu.A. Artemenko, G.I. Zhirov, in: Progress in Hydrogen Treatment of Materials, V.A. Goltsov (ed.), Kassiopuya Ltd, Donetsk (2001), п. 161–184.
4. V.A. Goltsov, Mater. Sci. Eng. **49**, 1 2, 109 (1981).
5. В.А. Гольцов, в кн.: Взаимодействие водорода с металлами, А.П. Захаров (ред.), Наука, Москва (1987), гл. 9, с. 264–292.
6. Г.И. Жиров, М.В. Гольцова, ФММ **94**, № 1, 70 (2002).
7. В.А. Гольцов, Н.И. Тимофеев, И.Ю. Мачкина, В.А. Кириллов, В.И. Громов, Ф.Н. Берсенева, С.Х. Курумчина, Журнал физической химии **54**, 2865 (1980).
8. Yu.A. Artemenko, M.V. Goltsova, V.I. Zaitsev, Intern. J. Hydrogen Energy **22**, 343 (1997).
9. М.В. Гольцова, Г.И. Жиров, ФММ **94**, 1 3, 66 (2002).
10. Б.А. Колачев, Водородная хрупкость металлов, Металлургия, Москва (1985).
11. В.А. Гольцов, Б.А. Лобанов, ДАН СССР **283**, 598 (1985).
12. А.Ф. Жигач, Д.С. Стасиневич, Химия гидридов, Химия, Москва (1969).
13. Х.Дж. Гольдшмидт, Сплавы внедрения, вып. 2, Мир, Москва (1971).

G.I. Zhirov

ANNEALED AND HYDROGEN-PHASE-HARDENED PALLADIUM HYDRIDE: PRINCIPLES OF OBTAINING AND MECHANICAL PROPERTIES

It is shown that annealed low-defective hydride of palladium, which was obtained by the hydrogenation of pure palladium «out» the two-phase state cupola, is the low-durable and high-plastic material. During the hydrogenation of palladium beneath the critical temperature (292°C) there takes place a hydride $\alpha \rightarrow \beta$ phase transformation by the mechanism of nucleation and growth in palladium–hydrogen system. And the palladium hydride obtained by this way is high-durable and low-plastic material as a result of the existence of powerful hydrogen-phase-naklep during the hydride $\alpha \rightarrow \beta$ phase transformation.

Fig. 1. Phase diagram of Pd–H system [1] and schemes of the hydrogenation by the way «out» the two-phase state cupola ($1 \rightarrow 2 \rightarrow 3 \rightarrow 4$) and with the hydride $\alpha \rightarrow \beta$ phase transformation evolution ($1 \rightarrow 5 \rightarrow 6 \rightarrow 7 \rightarrow 8 \rightarrow 4$). I and II – 2,3 and 0,18 MPa isobars

Fig. 2. The evolution of the hydride $\alpha \rightarrow \beta$ phase transformation in the subsurface layers of PdH_x alloys at $T = 170^\circ\text{C}$, $P_{\text{H}_2\text{kp}} = 0,18 \text{ MPa}$ in time, s: $\hat{a} = 0$, $\hat{a} = 10$, $\hat{a} = 13$, $\hat{a} = 22$, $\hat{a} = 55$, $\hat{a} = 300$

Fig. 3. The rate of growth of hydride precipitations during the processing of the hydride $\alpha \rightarrow \beta$ phase transformation at $T = 170^\circ\text{C}$, $P_{\text{H}_2} = \text{const} = 0,3 \text{ MPa}$: 1 – the average rate of undirected growth of hydride precipitations; 2 – the rate of directed growth of β -hydride precipitation that is shown by arrows 2, 3, 4 in Fig. 2